

ru chemických zařízení neobvyklé, neboť taková analýza vyžaduje zcela podrobné informace o zařízení a je náročná na čas i zkušenosti. Snad právě proto jsou důsledné analýzy spolehlivosti z hlediska příčin pořízen podrobňovány jen závažné stavů nebo situacím, které již skončily havárií. Je však mnohem efektivnější podrobit analýzy zařízení již ve fázi projekce. V také případu je totiž možno stavu na zařízení předvídat, nalézt jejich příčiny, ohodnotit jejich pravděpodobnost a předem realizovat vhodná opatření.

Při kvalitativní analýze zpravidla vystačíme s odhady pravděpodobnosti primárních poruch, které lze stanovit relativně snadno. I při nedostatku těchto dat však kvalitativní analýza spolehlivosti zůstává cenným nástrojem, neboť umožňuje nalézt příčiny poruch nebo souhuby poruch. Známé-li příčiny poruch a jejich následky, je možno navrhnout takové úpravy a zásahy, které vytvoří předpoklady pro dosažení vyšší spolehlivosti.

### Závěr

Projektant chemických zařízení mírá v některých případech úkol velmi nesnadný. Nová technologie nebyvá dostatečně prostudována ani po stránce teoretické a chybějí provozní zkušenosti. Předpoklady pro dosahování požadované spolehlivosti se však vkladou především v předvýrobních fázích, a proto jo požadavek na spolehlivostní analýzu v těchto fázích zeola oprávněný.

Základní potíž je v tom, že se údaje o spolehlivosti zařízení systematicky neshromáždují u nezpracovávají. Tato oblast je opomíjena neprávem, přestože je sběr dat u chemických zařízení velmi komplikovaný. Komplikovaný jo i přenos informací z jednotlivých podniků na podmínky jiné. Práce také ukazuje, že zkušenosti se zařízením jsou zpravidla jen u provozovatele, projektant se o další funkci příliš nezajímá.

Při požadavku na posouzení spolehlivosti zařízení

proto ve většině případů nelze vycházet z datové základny, tj. hodnotit spolehlivost kvantitativně. Kromě kvantitativní analýzy je možno zařízení podrobit i analýze spolehlivosti po stránce kvalitativní. V žádém případě by však uvedené postupy analýzy neměly být chápány jako vzájemně se zastupující, ale naproti tomu využitelné.

Podrobné informace, které o zařízení dají kvalitativní analýza spolehlivosti pomocí kvantitativní analýzy nezjistíme, není to ani cílem. U chemických zařízení je především o posouzení náročnosti technologie ve vztahu k zařízení, neboť v různých podmírkách bude totéž zařízení vykazovat rozdílnou spolehlivost.

Při případech vyžadujících podrobnější rozbor je možno aplikovat např. analýzu metodou stromu poruch, která umožňuje pro konkrétně definovaný stav na zařízení odhalit skutečně příčiny poruchy. Odhad pravděpodobnosti sledované poruchy účelně doplňuje kvalitativní analýzu.

Analýza spolehlivosti a zejména kvalitativní analýza spolehlivosti je velmi náročná na čas, znalosti a zkušenosti. Zvláště náročná, ale také zvláště potřebná je v případech, kdy chybějí zkušenosti, tj. při prvních aplikacích.

### Literatura

- Anyakora S. N., Engel G. F. M., Loos F. P.: *The Chem. Eng.* 6, 254, s. 396 (1971). — 2. Busseusen S.: *Zuerlässigkeit von Chemieanlagen*, Amt für Standardisierung und Warenprüfung, Berlin s. 6 (1975). — 3. Pasold E.: *Zuerlässigkeit von Chemieanlagen*, Amt für Standardisierung und Warenprüfung, Berlin s. 5 (1975). — 4. Babinec F.: Grafická reprezentace při analýze spolehlivosti. In: Sborník 11. Celostátní konference OSCHI, Bratislava, s. 9 (1981). — 5. Shooman M. L.: *Probabilistic Reliability: An Engineering Approach*, McGraw-Hill, New York (1968). — 6. Babinec F., Doňal M.: Sborník 9. Celostátní konference OSCHI, ČSVTS, s. 17, Vinné (1981). — 7. Raiffa H.: *Teorie rozhodování*, SNTL Praha, 1980. — 8. Lenz R. E.: *Chem. Eng. Progr.* 66, 6, 12, s. 29 (1970). — 9. Powers G. J., Tompkins F. C.: *AICHE J.* 20, 6, 2, s. 376 (1974). — 10. Gandhi S. L., Henley E. J.: *General Techniques in System Reliability Assessment*, NATO ASI, s. 163, Nordhoff (1976). — 11. Heer H. J.: *Chem. Eng.* 6, 4, s. 121 (1973).

## Materiálová a entalpicke bilance technologického subsystému v neustáleném stavu

Jiří Výborný, Jan Bartoň,  
Chemopetrol k. ú. o. Výzkumný ústav anorganické chemie, Ústí nad Labem,  
Jan Čermák,

Ústav teoretických základů chemické techniky ČSAV, Praha

66.021.4.046

Redakce došlo 28. 5. 1984

V předložené práci je použita metoda approximace dynamiky reálného technologického substitutu lineárním stochastickým modelem, přičemž parametry tohoto modelu byly stanoveny z experimentálních dat. Tímto způsobem lze statický systém popsat pomocí dat naměřených v neustáleném stavu, což je vžádšte výhodné tam, kde lze ustálených stavů dosáhnout velmi obtížně jako v daném případě. Výsledkem approximace dynamiky systému je soustava lineárních rovnic (8) s maticí statického zesilení  $G$ , která udává vztahy mezi vstupními  $X_u$  a výstupními  $Y_v$  veličinami v ustáleném stavu. Entalpicke a materiálová bilance (9) subsystému (obecně nelineární) byla řešena společně se soustavou (8). Bylo zjištěno, že lineárovizovaná soustava (8) využívající proměnné oblasti vlastnostem systému při dané přesnosti měření a daných způsobech výpočtu měřních entalpií mroud.

## Úvod

V roálném technologickém systému nejsou obvykle měřeny všechny průtoky a teploty proudů, které se v něm vyskytují, nebo se určuje provozní měření uláže jako nevyhovující. Z těchto důvodů musí být některé veličiny dopočítávány. Jsou-li hledány hodnoty ne-měřených veličin v určité pracovní oblasti, zajímají nás obvykle i závislosti moží veličinám, a to jak měřenými, tak neměřenými. Tyto závislosti lze získat jednak experimentálně, jednak simulaciemi výpočty z matematického modelu systému.

V předložené práci je použita metoda<sup>1,2)</sup> approximace dynamiky systému lineárním stochastickým modelem, přičemž parametry tohoto modelu byly stanoveny z experimentálních dat. Vzhledem k tomu, že entalpicí bilance studovaného systému je oboecně non-lineární, byla platnost parametrů lineárního stochastického modelu ověřena entalpiou bilancí systému v experimentálně proměněné oblasti.

## Rozbor problému

Na obrázku 1 je uvedeno zjednodušené schéma chlazení plynne směsi a výroby technologické páry. Plynna směs 1 o teplotě 300–500 °C se nejprve mísí s vysokovroucím olejem 2. Směs oleje a plynu 3 je vedena do paty chladicí věže V. Část oleje se přivádí proudem 4 do střední části chladicí věže, přičemž se jeho tepla využívá k předehřevu ve výměničce E<sub>1</sub>. Z hlavy chladicí věže odchází ochlazený plyn 5 zbalený olejovými podstlami, z nichž nízveroucí složky opouštějí systém v proudu 8 a výšeroucí složky odcházejí proudem 9. Na hlavu věže je přiváděn proud směsi kapalných uhlíkovodíků 6, který slouží jako reflux chladicí věže. Z paty chladicí věže odchází ohřátý olej 7 do výměničky E<sub>2</sub>, kde se jeho tepla využívá k výrobě technologické páry 10 v parním vývýječe B. Do vývýječe B se přivádí upravená voda proudem 11, zbytkový vodní proud opouští vývýječ B proudem 12. Paralelně s vařákem E<sub>2</sub> pracují i vařáky E<sub>3</sub>, v nichž se k výrobě technologické páry využívá přehřáté páry z vnějšího zdroje. K úpravě složení daného množství plynne směsi 1 je nutné přivádět z vývýječe B do plynne směsi 1 stálé množství technologické páry. Technologická pára 10 se současně vyrábí ve vařáku E<sub>2</sub> i E<sub>3</sub>, přičemž energeticky výhodnější se jeví výroba této páry pomocí vařáku E<sub>2</sub>. Je tedy otázkou,

jakým způsobem je možné ovlivňovat množství vyroběná technologické páry ve vařáku E<sub>2</sub> při daném průtoku a dané teplotě plynne směsi 1.

Průtok oleje 7 vařáku E<sub>2</sub> není měřen, a proto musí být stanoven entalpicí bilancí chladicí věže. Pro konstantní otáčky odstředivého čerpadla, které čerpá olej systémem, lze očekávat, že průtok oleje je konstantní. Pro dané množství plynne směsi 1 a danou teplotu této směsi je při dostatečně výkonnostní rezervě vařáku E<sub>2</sub> nutné, aby bylo předáno oleji co největší množství tepla. Pro konstantní průtok oleje proudem 7 je tedy žádoucí co nejvyšší teplotu tohoto proudu. Toho lze nejnáze dosáhnout snížením re-fluxního poměru na chladicí věži (tj. snížením průtoku proudu 6). Stanovení vlivu průtoku refluxu na teplotu oleje v patě chladicí věže, a tím na výkonnost vařáku E<sub>2</sub> při různých pracovních režimech, bylo hlavním cílem předložené práce.

U sledovaného technologického subsystému je možné použít složitější statické modely chladicí věže<sup>3)</sup> i výměničkového okruhu<sup>4)</sup>, tvorících zkoumaný substitut. Vzhledem k úzce zaměřenému cíli je datový i časově náročný podrobný popis pomocí zmíněných modulů neúčelný. Stanovení vlivu průtoku refluxu na teplotu oleje v proudu 7 z experimentálních dat ustáleného stavu v různých pracovních režimech nebylo možné především z provozních důvodů. Přítomnost trendů v provozních datech a závažný technologický režim substitutu neumožňoval získat statická data vhodné kvality. Proto jsme použili metodou, jejíž princip v dalším textu podrobneji popíšeme.

## Teoretická část

Závislost mezi výstupní veličinou  $y$  a vstupní veličinou  $x$  lze pro relativně malé změny vstupní veličiny a diskrétně měřené hodnoty approximovat ve vzorkovacím okamžiku i lineární diferenční rovnici:

$$y_i = \sum_{j=1}^r a_j y_{i-j} + \sum_{j=1}^s b_j x_{i-j} + y_0 \quad (1)$$

kde  $a_j$ ,  $b_j$  jsou koeficienty diferenční rovnice,  $r$  je řád rovnice a  $y_0$  je konstanta. Index  $i$  označuje hodnotu měřenou v čase  $i\Delta t$  od počátku měření,  $\Delta t$  je interval mezi měřením této veličiny. U reálných technologických systémů neovlivní vstupní veličina výstupní veličinu v okamžiku jejího měření, ale po dobu  $q\Delta t$ , dané dopravním zpožděním v systému. Proto je index vstupní veličiny doplněn o index posunu  $q$  na  $x_{i-1-q}$ .

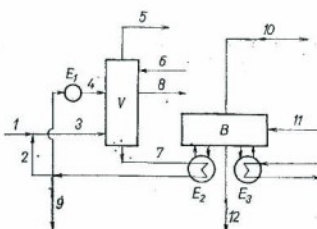
Hodnoty veličin měřené v pracovních podmínkách jsou zatíženy chybami a platí

$$y_i = y_i^* + e_{i,y} \quad (2)$$

$$x_i = x_i^* + e_{i,x} \quad (3)$$

kde veličiny označené  $*$  jsou správné hodnoty a  $e_{i,y}$ ,  $e_{i,x}$  jsou chyby měření. Vliv náhodných chyb je stejný, jako kdyby na výstupní veličinu působila další vstupní měřená veličina  $e$ .

Není však možné z měřených dat současně stanovit neznámé koeficienty diferenční rovnice a chyby měření, avšak šumové složky  $e$  lze odhadnout na základě vzorkovaných veličin v čase. Počet koeficientů  $c_1$



Obr. 1. Schéma technologického substitutu  
V - chladicí věž; B - vývýječ technologické páry

nutných k popisu neměřené veličiny  $e$  v diferenční rovnici je opět roven řádu diferenční rovnice. Proto jsou hledány odhady koeficientů  $c_i$ , tak, aby po opravě měřených hodnot byla splňena rovnice (1) s minimálním rozptylem.

Výsledný tvar diferenční rovnice

$$y_t^* = \sum_{j=1}^r a_j y_{t-j}^* + \sum_{j=1}^r b_j x_{t-j-a}^* + \sum_{j=1}^r c_j e_{t-j} + e_t \quad (4)$$

vede pro  $N$  měření k soustavě  $N$  rovnic tvaru (4) s těmito neznámými parametry:

- a) koeficienty diferenční rovnice  $a_j, b_j$
- b) posuv  $q$
- c) řád  $r$
- d)  $j$ -tý počet počátečních hodnot veličiny  $e$ .

Koeficienty  $c_j$  jsou dány odhady koeficientů  $a_j, b_j$  diferenční rovnice (1) a kovarianční matící chyb měřených voličin. Při výsuvedených vlastnostech chyb stačí k ziskání maximálně věrohodných odhadů koeficientů  $a_j, b_j$  diferenční rovnice (4) minimalizace rozptylu náhodné veličiny  $e$ .

Po konstantní hodnotu vstupní veličiny  $x_u$  se výstupní veličina  $y_u$  ustálí na hodnotě

$$y_u = gx_u + y_{0,u} \quad (5)$$

kde  $g$  je statické zesílení soustavy a  $y_{0,u}$  konstanta, resp. teoretická hodnota výstupní veličiny  $y$  v případě nulového vstupu  $x_u = 0$ . Mezi koeficienty diferenční rovnice, zesílením a  $y_0$  platí

$$g = \sum_{j=1}^r b_j / \left( 1 - \sum_{j=1}^r a_j \right) \quad (6)$$

$$y_{0,u} = y_0 / \left( 1 - \sum_{j=1}^r a_j \right) \quad (7)$$

Soustava rovnic (8), vzniklá zobecněním vztahu (5) pro všechny výstupní veličiny

$$\dot{Y}_u = \mathbf{G}X_u + Y_{0,u} \quad (8)$$

kde  $\mathbf{X}_u$  je vektor hodnot vstupních veličin,  $\dot{Y}_u$  je vektor hodnot výstupních veličin,  $\mathbf{G}$  je matice zesílení, je linearizací popisu systému v ustálém stavu. Protože vektory  $\mathbf{X}_u$  a  $\dot{Y}_u$  jsou tvořeny prvky obsahujícími teploty (měrné entalpie) a průtoky jednotlivých proudů systémů, musí popis systému pomocí soustavy (8) implicitně zahrnovat entalpickou i materiálovou bilanci. Entalpická a materiálová bilance v ustálém stavu je však obecně formulována nelineárním vztahem

$$f(\mathbf{X}_u, \dot{Y}_u) = 0 \quad (9)$$

$$\text{kde } X_u = X_u(h, m); Y_u = Y_u(h, m); h = h(T)$$

$h$  je měrná entalpie média,  $m$  je průtok média a  $T$  je teplota média.

Pokud je popis systému soustavou rovnic (8) správný, musí hodnoty vektoru výstupních veličin  $\dot{Y}_u$  vypočítané ze soustavy (8) pro zadání hodnoty vstupních veličin  $\mathbf{X}_u$  z proměnného intervalu vyhovovat vztahu (9).

Linearizaci vztahu (9) v daném pracovním bodě na tvar

$$\mathbf{A}\mathbf{Y}_u + \mathbf{B}\mathbf{X}_u + \mathbf{Z} = 0 \quad (10)$$

obdržíme matice  $\mathbf{A}, \mathbf{B}$  a vektor  $\mathbf{Z}$ , které jsou vaznými podmínkami při výpočtu prvků matice zesílení  $\mathbf{G}$  a vektoru  $\mathbf{Y}_{0,u}$ , resp. koeficientů diferenční rovnice (4).

Identifikaci parametrů dynamického modelu se soustavou vazných podmínek (10) však narází na řadu obtíží<sup>10</sup>. Prvky matice a vektoru soustavy (10) obsahují teploty a průtoky, a proto jsou závislé na velké pracovním bodu. Podobně i prvky matice  $\mathbf{G}$  závisí na všeliké pracovním bodu, neboť vztah mezi  $\mathbf{Y}_u$  a  $\mathbf{X}_u$  je obecně nelineární.

Eliminace dopravního zpoždění mezi měřenými veličinami systému vyžaduje nespojitou (krokovou) optimalizaci na rozdíl od výpočtu parametrů  $a_j, b_j$ . Současně hledání závislosti výstupních veličin na vstupních veličinách s jejichrostoucím počtem ztěžuje hledání optimu, nahlédlo na neúměrně rostoucí nároky na počet operací a na práci s měřenými daty.

Z výsuvedených důvodů proto bylo zvláště řešena identifikace prvků matice zesílení  $\mathbf{G}$  (vztahy (4) až (7)) a zvláště entalpická a materiálová bilance (9) simulovaně se soustavou rovnic (8).

Měrné entalpie kapalných proudů byly stanoveny z experimentálních dat naměřených v laboratorním kalorimetru<sup>11</sup>. Závislost topolní kapacity na teplotě byla zvolena ve tvaru

$$c_p = \mathbf{A} + \mathbf{BT} \quad (11)$$

kde  $\mathbf{A}, \mathbf{B}$  jsou experimentálně nalezené konstanty.

Měrné entalpie plynných proudů byly vypočítávány z literárně tablovaných dat závislosti tepelných kapacit složek směsi na teplotě<sup>12</sup>. Měrné entalpie plynné směsi byla vypočtena podle vztahu

$$h = \frac{t_2}{t_1} \int_{t_1}^{t_2} (\Sigma c_{p,i}(T)x_i) dT \quad (12)$$

$x_i$  — hmotnostní zlomek složky  $i$  ve směsi  
 $t_1, t_2$  — referenční teplota entalpicke bilance.

Složení plynných proudů bylo stanoven analyticky. Složení proudů 5 a 8 na obrázku 1 za jiných podmínek refluxu chladicí věže než při odběru vzorku bylo počítáváno z bilance složek s předpokladem, že se nemění složení proudu (7).

Měrné entalpie vodní páry a vody byly určovány podle literatury<sup>13</sup>.

### Pokusná část

Provozní experiment byl organizován s průtokem refluxu jako vstupní veličinou  $x$  a teplotami v různých místech systému jako složkami vektoru výstupních veličin. Byl měněn průtok refluxu chladicí věže, přičemž maximální odchylka od průměrné hodnoty průtoku refluxu činila ±13 až 14 %. Změny průtoku refluxu a odpověď na sledovaných výstupních veličinách (teplotách) byly měřeny s konstantním vzorkovacím intervalem 1 minuta. Data byla snímána procesním počítacem a měřicí ústřednou METRA.

Změny průtoku refluxu byly vytvářeny pseudonáhodným binárním signálem o periodě  $N = 31$ , se nejkratší délky intervalu mezi dvěma změnami průtoku refluxu 10 minut, jehož statistické vlastnosti jsou

dobře známý<sup>10</sup>) a v provozních podmírkách byl snadno realizovatelný. Zvolená amplituda skokových změn byla taková, že u všech měřených veličin byla odezva na tuto změnu rozlišitelná od běžného provozního kolísání veličin. Perioda časových změn mohla být zvolena kratší, než je zapotřebí k ustálení systému nového režimu, vzhledem k uvažování dynamiky systému při výpočtu hodnot ustáleného stavu. Byly zaznamenaneny teploty všech proudů vstupujících a vystupujících z chladicí věže (včetně teplot podél vertikální chladicí věže) s přesností na 0,1 K, množství a tlak technologické páry, průtok středotlaké páry do vařáku  $E_2$  spolu s charakteristikou této páry a průtok refluxu (průtoky s přesností 2 %).

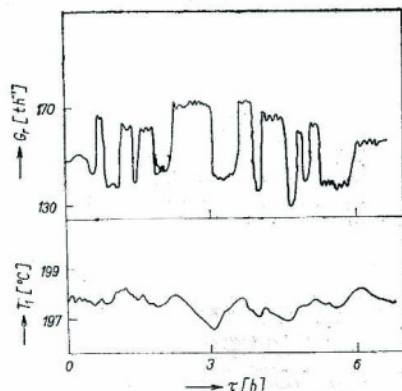
### Výsledky a diskuse

Na obrázku 2 je graficky znázorněna závislost teploty oleje  $T_1$  v proudu 7 (před vařáky  $E_2$ ) na průtoku refluxu  $G_r$  do chladicí věže. Z obrázku 2 je patrné, že vyšší průtok refluxu snižuje teplotu v proudu 7. V tabulce I jsou uvedeny konstanty rovnice závislosti teploty podél vertikální chladicí věže na průtoku refluxu

$$y_u = (g')' x_u + (y_{0,u})' \quad (13)$$

kde  $(g')' = g/\beta_0$  a  $(y_{0,u})' = y_{0,u}/(y_{0,u})_s$

přičemž  $|g_s|$  je absolutní hodnota zesílení a  $(y_{0,u})_s$  je



Obr. 2. Závislost průtoku refluxu  $G_r$  (vstupní signál) a teploty oleje v patě chladicí věže  $T_1$  na čase  $t$

Tabulka I

Hodnoty relativního zesílení  $(g')'$  a relativní konstanty  $(y_{0,u})'$  definované vztahem (13)

$y_u$ [°C]	$(g')'$	$(y_{0,u})'$
hlava věže $P$	-3,67	0,74
5. patro shora	-4,38	0,87
13. patro shora	-6,34	1,03
pata věže $V$ (proud 7)	-1,00	1,00

konstanta pro závislost teploty v patě chladicí věže (proud 7),  $y_{0,u}$  na průtoku refluxu

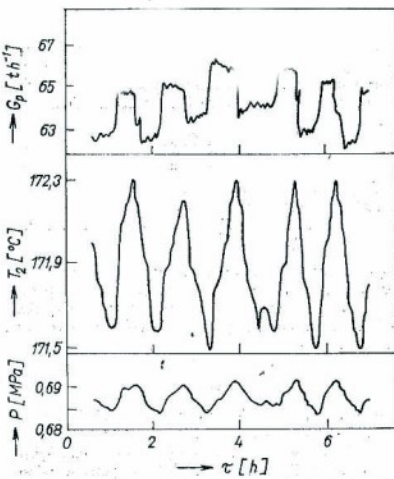
$$y_{0,u} = g_s x_u + (y_{0,u})_s \quad (14)$$

Z tabulky I vyplývá, že vliv průtoku refluxu na teplotní vertikální profil chladicí věže roste od hlavy chladicí věže směrem ke 13. patru shora. V patě chladicí věže (proud 7) je tento vliv menší vlivem rádového množství oleje odcházejícího z paty věže proti průtoku refluxu mezi hlavou věže až 13. patrem shora.

Pro ilustraci je na obrázku 3 znázorněna závislost mezi průtokem středotlaké páry  $G_p$  do vařáku  $E_2$ , teplotou oleje  $T_1$  za vařáky  $E_2$  a tlakem  $P$  technologické páry na čase při provozním experimentu. Změna průtoku středotlaké páry  $G_p$  je způsobena automatickou regulací tohoto průtoku podle tlaku technologické páry. Z obrázku 3 je patrné, že teplota oleje  $T_1$  za vařáky  $E_2$  kolísá synchronně s tlakem technologické páry, a tím samozřejmě i se teplotou ve vyvíjecí technologické páry  $B$ . Nebyla zjištěna souvislost mezi teplotami oleje na vstupu a výstupu vařáku  $E_2$ . Tyto výsledky svědčí o tom, že vařáky  $E_2$  pracují s velkou výkonnostní rezervou, při níž se výstupní teplota oleje ustala podle teploty ve vyvíjecí páry  $B$ . Pro střední tlak ve vyvíjecí technologické páry  $P = 0,68$  MPa byla  $T_1 = 171,9$  °C.

V tabulce II jsou uvedeny procentuální odchyly ve stanovení průtoku oleje proudem 7 entalpickou bilancí chladicí věže podle vztahu (9) řešenou simulánně se soustavou rovnic (8) v rámci střední hodnoty průtoku refluxu v experimentálně proměně oblasti  $G_r = 150\ 000 \text{ kg h}^{-1}$ .

Z tabulky II je patrné, že v relativně široké oblasti průtoku refluxu se vypočítané průtoky oleje v proudu 7



Obr. 3. Závislost průtoku středotlaké páry  $G_p$  do vařáku  $E_2$ , teploty oleje  $T_1$  za vařáky  $E_2$  a tlaku technologické páry  $P$  na čase  $t$

Tabulka II

Relativní odchylka  $R$  průtoku oleje, resp. absolutní odchylky  $\Delta T$  při stanovení teploty proudu v určitém bodu  $G_r = 150\ 000 \text{ kg h}^{-1}$  stanovené entalpickej bilanci

$G_r$ $[\text{kg h}^{-1}]$	$R$ [%]	$\Delta T$ [K]
130 000	1,70	0,020
140 000	0,99	0,012
150 000	0,00	0,000
160 000	-0,98	0,012
170 000	-1,70	0,020

liší o  $\pm 1,7\%$ . Po přeypočtení odchylky vypočteného průtoku oleje z entalpickej bilance (9) na chybou ve stanovení teploty oleje v patě chladicí věže lineárním stochastickým modelem tak, aby byl vypočtený průtok oleje konstantní pro všechny hodnoty  $G_r$  v tabulce II, obdržíme rozdíly mezi stanovenou teplotou oleje lineárním stochastickým modelem a teoretickou hodnotou, při níž entalpickej bilance (9) poskytne konstantní hodnotu průtoku oleje pro všechna  $G_r$ . Tyto rozdíly jsou uvedeny v tabulce II ve sloupcu označeném  $\Delta T$ .

Z údajů uvedených v tabulce II lze usuzovat, že použití lineárního stochastického modelu pro daný technologický subsystém a danou přesnost měření bylo adekvátní.

Množství technologické páry  $G_s$  vyroběné vařáky  $E_2$  lze vyjádřit vztahem (15) (zbytkový odtah vody z výjíce  $B$  je zanedbán)

$$G_s = G_0(h_1 - h_2)/(h_3 - h_4) \quad (15)$$

kde  $G_0$  je průtok oleje vařáky  $E_2$ ,  $h_1$  a  $h_2$  je měrná entalpie oleje při teplotách  $T_1$  a  $T_2$ ,  $h_3$  je měrná entalpie technologické páry a  $h_4$  je měrná entalpie vody vstupující do vyvýfaje  $B$ .

Jestliže pro jednoduchost za  $(h_3 - h_4)$  dosadíme  $r_v$ , což je výparné teplo vody při teplotě a tlaku ve výjíce  $B$ , a hodnotu  $r_R$  označíme výparné teplo refluxu za podmínek v chladicí věži  $V$ , můžeme definovat poměr

$$K = \left| \frac{\Delta G_{sV}}{\Delta G_{rR}} \right| \quad (16)$$

kde  $\Delta G_s$  je změna průtoku refluxu

$\Delta G_s$  je změna množství vyroběné technologické páry vařáky  $E_2$  při změně průtoku refluxu o  $\Delta G_r$ .

Bylo nařezeno, že  $K = 0,96$ . Znamená to, že teplo, které v chladicí věži odebírá reflux (převážně odpárování), lze v daném intervalu průtoku refluxu využít k výrobě technologické páry ve vařáckých  $E_2$  s velkou účinností.

## Závěr

Dokonálná simulace složitého technologického systému je obvykle spojena s řadou obtíží prameněných převážně z nedostatku přesných fyzikálně chemických dat pro látky, či pro značnou složitost popisovaného systému. Pro reálný technologický systém je navíc potřeba závěry, k nimž se simulacemi výpočty dopojí, ověřit v provozních podmínkách. Velkou před-

ností popisu systému lineárním stochastickým modelem popsaným v předložené práci je to, že s využitím hrubých chyb měření zpracováváme data, která nemohou být s daným systémem v rozporu. Jedinou podmínkou je, aby se zkoumaný systém choval v proměněné oblasti přibližně lineárně. Použitá metoda vyžaduje dokonale promyslet provozní experiment, důkladně se seznámit se systémem (nejlepší rozborem provozních záznamů) a na dleležitých místech instalovat pokud možno paralelně měření sledovaných veličin. Samořeďmostí je kvalitní technické zabezpečení experimentu (sledování systému lidicím počítacem, měřicího řízení).

Výsledky, které popsaná metoda poskytuje, odpovídají požadavkům na nalezení vazeb mezi veličinami v ustáleném stavu. V daném případě bylo kvantifikováno množství technologické páry, které je možné získat změnou refluxního poměru chladicí věže, a tím je dáné i množství středotlaké páry, které je nutné přivádět do vařáku  $E_2$  pro konstantní výrobu technologické páry.

## Seznam symbolů

- $a_1$  — koeficient diferenční rovnice
- $A$  — konstanta rovnice (11)
- $A$  — matice z rovnice (10)
- $b_1$  — koeficient diferenční rovnice
- $B$  — konstanta rovnice (11)
- $B$  — matice z rovnice (10)
- $c_1$  — koeficient diferenční rovnice
- $c_{p,1}$  — topelná kapacita složek [ $\text{kJ kg}^{-1}\text{K}^{-1}$ ]
- $e$  — neměřená veličina
- $g$  — zadaní soustavy
- $g_s$  — zadaní soustavy v rovnici (13), (14)
- $G$  — matice řešení
- $G_0$  — průtok oleje vařáky  $E_2$  [ $\text{kg h}^{-1}$ ]
- $G_p$  — průtok středotlaké páry [ $\text{kg h}^{-1}$ ]
- $G_r$  — průtok refluxu [ $\text{kg h}^{-1}$ ]
- $G_s$  — průtok technologické páry [ $\text{kg h}^{-1}$ ]
- $h$  — měrná entalpie [ $\text{kJ kg}^{-1}$ ]
- $m$  — průtok
- $N$  — počet rovnic
- $P$  — tlak středotlaké páry [MPa]
- $q$  — posuv
- $r$  — řád diferenční rovnice
- $r_R$  — výparné teplo refluxu [ $\text{kJ kg}^{-1}$ ]
- $r_V$  — výparné teplo vody [ $\text{kJ kg}^{-1}$ ]
- $R$  — relativní odchylka v tabulce II
- $T$  — teplota [ $^{\circ}\text{C}$ ]
- $z_1$  — hodnota vstupní veličiny, hmotnostní zlomek v (12)
- $y_1$  — vektor vstupních veličin
- $y_2$  — hodnota vstupní veličiny
- $y_{1,0}$  — konstanta rovnice (5)
- $y_{1,1}$  — výstupní veličiny v rovnici (14)
- $Y$  — vektor výstupních veličin
- $Y_0$  — vektor konstant rovnice (8)
- $Z$  — vektor z rovnice (10)
- $\epsilon$  — chyba měření
- $\Delta T$  — řasový interval mezi měřením
- horní indexy
- $+$  — měřená veličina (hodnota)
- $'$  — relativní veličiny ve vztahu (13)
- dolní indexy
- $x$  — vztaheno ke vstupní veličině
- $y$  — vztaheno k výstupní veličině
- $u$  — veličina v ustáleném stavu

## Literatura

1. Baur U., Isermann R.: Automatis 13, 487 (1977). — 2. Wright J. P., Bacon D. W.: Ind. Eng. Chem. Process Des. Dev. 14, 453 (1975). — 3. Shi-Ping Ho, Fischer J. A., Un K. L.: Ind. Eng. Chem. Process Des. Dev. 17, 82 (1978). — 4. Černák J.,

Petruška V., Žádovka J.: *Dynamika regulovaných soustav v tepelné energetice a chemii*, Academia Praha, 1968. — 5. Kubášek L., Pásztor A.: *Statistické metody v merání*, Veda Bratislava, 1979. — 6. Almássy G. A.: *Dynamical Models of Statistical Balance Equations*, Working Paper of 13th European Symposium Chemplant '80, Héviz (Hungary) 1980. — 7. Horák Z.: *Praktická fyzika*, str. 366,

SINTL Praha, 1958. — 8. Himmelblau D. M.: *Basic Principles and Calculations in Chemical Engineering*, 3rd Edition, str. 404, Prentice Hall, Inc. Englewood Cliffs, New Jersey, 1974. — 9. Rivkin S. L., Alexandrov A. A.: *Teplofyzikální svojstva vody i vodíkovo paru*, Energetika Moskva, 1980. — 10. Polcák O., Havlíček A.: *Automatizace II*, 255 (1979).

## Využití reakční kalorimetrie v technologickém výzkumu

Josef Horák, Jaroslav Šilhánek,  
Vysoká škola chemickotechnologická, Praha

536.65  
535.528

Redakce došlo 1. 2. 1985

V práci jsou popsány základní principy umožňující měřit vývoj reakčního tepla při laboratorním studiu chemické reakce a z měření vyhodnotit kinetické parametry nezbytné pro návrh reaktoru. Jsou uvedeny metody využívající adiabatického režimu i metody, při nichž je teplota reakční směsi fixována zpětnovazebným regulačním.

### Úvod

V malotonážních procesech je často účelné co nejrychleji převést proces z laboratorních podmínek do provozního měřítka. Preparativní laboratorní pokus, při němž je jediným výsledkem konečné složení reakční směsi, poskytuje jen chudou informaci. Nepodává informace o změnách reakční rychlosti během pokusu, ani neposkytuje data použitelná pro návrh průmyslového reaktoru, jako údaje o reakčním teple, adiabatickém teplotním vzrůstu a teplné kapacitě reakční směsi.

Metodou, která umožňuje spojit preparativní pokus s určováním reakční rychlosti a měřením technicky důležitých vlastností reakce, je tzv. reakční kalorimetrie. Společná v měření rychlosti tvorby tepla během procesu. Reakční kalorimetrie má mnoho výhod. Je zpravidla založena na standardních způsobech měření teplot, takže nevyžaduje speciální analyzátor reakční směsi. Výsledky je možné snadno automaticky registratovat a měření lze spojit s řízením teploty. Metody je možno zdokonalit řízením aparatury mikroprocesorem nebo malým počítačem s vyhodnocováním dat on-line.

■ Cílem této práce je podat přehled o kalorimetrických metodách využitelných k technologickému výzkumu chemických reakcí.

### Historický vývoj reakční kalorimetrie

Princip metody je velmi starý. Tepelných efektů k indikaci chemické reakce, či odhadu nebo výpočtu kinetických parametrů využívá např. diferenciální termická analýza. Používá se zejména k indikaci fázových přeměn a reakcích tuhých látek, důvodem k její široké aplikaci je především možnost nahradit složitou analýzu vzorku jednodušším měřením teploty. Přehled prací pojednávajících o DTA je uveden v řadě publikací<sup>[1,2]</sup>.

Dalším krokem v aplikaci byl vývoj kalorimetru pro teoretické studium chemických reakcí pro fyzikálně

chemické účely. Při teoretických studiích je možné a často i účelné pracovat při velkém zředění s malým množstvím vzorku. Cílem vývoje reakčních kalorimetrů tedy bylo dosažení vysoké citlivosti aparatury<sup>[3]</sup>. Protože v té době nebyly ještě k dispozici vyhodnocovací metody s využitím počítače, byl vývoj ovlivněn snahou zajistit izotormnosti měření, aby bylo vyhodnocení naměřených dat jednoduché. Toto omezení již nemí nutně v současné době respektovat, protože s využitím počítače je možné spolehlivě vyhodnotit i data noizotermní. Důležité je, aby teplota byla přesně známa a nikoli to, zda je konstantní.

Další etapa vývoje byla iniciována vývojem reaktorového inženýrství, zejména vývojem nových metod pro jekce chemických reaktorů, jež jsou založeny na matematickém modelování. Není příliš překvapující, že iniciativa v tomto směru vzešla od velkých farmaceutických firem, protože projektování technologií tzv. malotonážních výrob je nejvíce poplatné empirismu a tří pět většinou naprostým nedostatkem spolehlivých dat nutrých pro návrhy reaktorů. Proto se objevují konstrukce tzv. preparativních kalorimetrů, umožňujících bilancovat laboratorní či poloprovozní reaktory při preparativním pokusu<sup>[4-6]</sup>.

Za nejnovější fázi reakční kalorimetrie je možné označit využití metod bilancování tepla v průmyslových reaktorech k řízení, např. indikování nebezpečných situací, k určení rezervy v chlazidle, k identifikaci vlastností, určení okamžité aktivity katalyzátoru či iniciátoru, zanezení výměnných plach atd. Při použití řídícího počítače totiž může být bilancování průmyslového reaktoru stejně přesné jako reaktoru laboratorního, někdy i přesnější, protože ve velkém reaktoru mají ztráty tepla ze soustavy často menší vliv než v reaktoru malém.

### Současný stav reakční kalorimetrie

#### Data potřebná k návrhu reaktoru

U silně exotermních procesů je základním požadavkem návrhu reaktoru a jeho režimu zajištění bezpečnosti. K návrhu bezpečného režimu jsou nezbytná data:

1. Rychlostní rovnice reakce popisující vliv teploty a stupně pětěnování na reakční rychlosť.
2. Údaje o teplém projevech reakce, reakční teplota, směšovací tepla a adiabatický teplotní vzrůst, teplná kapacita směsi.